

### 3-15 $\alpha$ ト ラ ッ ク 法 による 国 府 津 - 松 田 断 層 の ラ ド ン 濃 度 の 定 期 観 測

Weekly Observation of Radon Activity around the Kozu-Matsuda Fault Using  
 $\alpha$  Track Etch Method

地質調査所  
Geological Survey of Japan

地質調査所では観測強化地域に含まれる大井町相互台の国府津-松田  $\alpha$  断層を対象として  $\alpha$  ト ラ ッ ク 法 による ラ ド ン 濃 度 の 調 查 を 行 っ た ( 第 1 図 ) 。 観 测 孔 は 断 層 を 横 切 る  $S_1$  測 線 ( 延 長 380 m ) 上 に 43 孔 , 200 m 北 側 の  $S_2$  測 線 ( 延 長 350 m ) 上 に は 34 孔 , さ ら に 断 層 の 延 長 方 向 の  $S_3$  測 線 ( 延 長 100 m ) 上 に は 11 孔 認 定 し た ( 第 2 図 ) 。

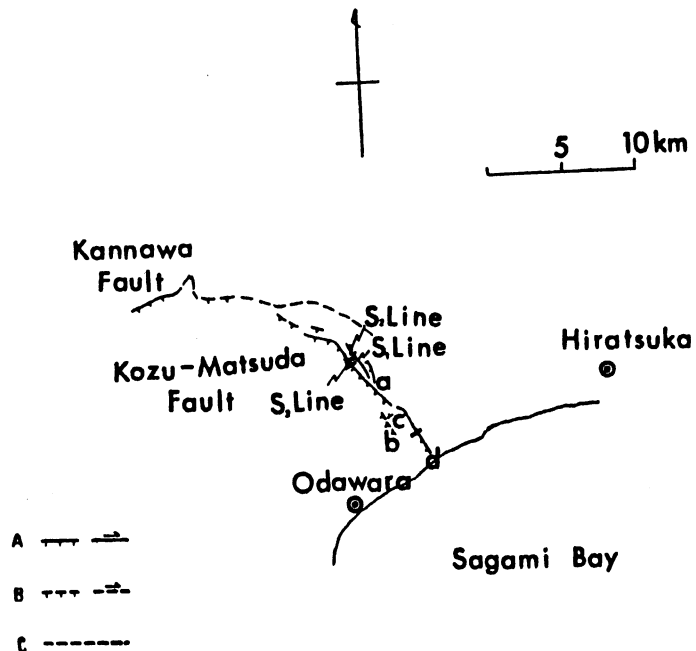
測定の結果を第 3 ~ 5 図に示す。  $S_1$  および  $S_2$  測 線 上 の 相 互 台 西 斜 面 の ト ラ ッ ク 密 度 の ピーク位置は活断層研究会(1980)によって示された国府津-松田断層系の  $\alpha$  断層に相当する。 $S_2$  測 線 上 の 東 斜 面 お よ び そ れ に 接 す る 地 溝 部 の ト ラ ッ ク 密 度 の ピークは,  $\alpha$  断層の東側と併走する断層に相当するものと考えられる。

$S_1$  測 線 上 の № 41, 42, 43, 44,  $S_2$  測 線 上 の № 133, 134 お よ び  $S_3$  測 線 上 の № 21 A, 21 B の合計 8 観 测 点 を 定 点 と し , 1980 年 2 月 以 降  $\alpha$  ト ラ ッ ク 法 による 一 週 間 毎 に フ ィ ル ム を 交 換 す る 定 期 観 测 を 実 施 し , 地 震 と の 関 連 に つ い て 検 討 を 行 っ て い る 。 今 回 は 8 定 点 の ト ラ ッ ク 密 度 の 平 均 値 , 断 層 上 に 位 置 す る と 推 定 さ れ る № 43 と № 21 A の ト ラ ッ ク 密 度 , バ ッ ク グ ラ ン ド を 示 す と 考 ら れ る № 133 の ト ラ ッ ク 密 度 を 第 6 ・ 7 図 に 示 し た 。 こ れ ら の 図 か ら 1983 年 1 月 頃 よ り ラ ド ン 濃 度 が そ れ 以 前 に 比 べ て 高 く な る 傾 向 が 認 め ら れ る 。

( 加 藤 完 )

#### 参 考 文 献

- 1) 活断層研究会編：日本の活断層，(1980)，146-153.
- 2) 加藤完・池田喜代治・高橋誠・永田松三： $\alpha$  ト ラ ッ ク 法 による 神 繩 お よ び 国 府 津 - 松 田 断 層 地 域 の 調 查 , 第 四 紀 研 究 , 21 ( 1982 ), 67-74.



第1図 国府津一松田断層位置図（日本の活断層より一部加筆）

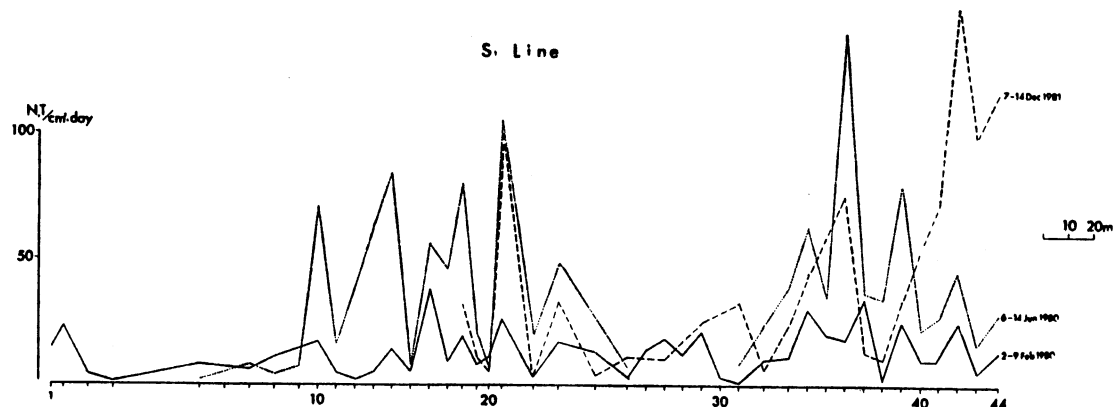
- A 活断層であることが確実なもの（確実度Ⅰ）
- B 活断層であると推定されるもの（確実度Ⅱ）
- C 活断層の疑のあるリニアメント（確実度Ⅲ）

Fig. 1 Location of Kozu-Matsuda fault.



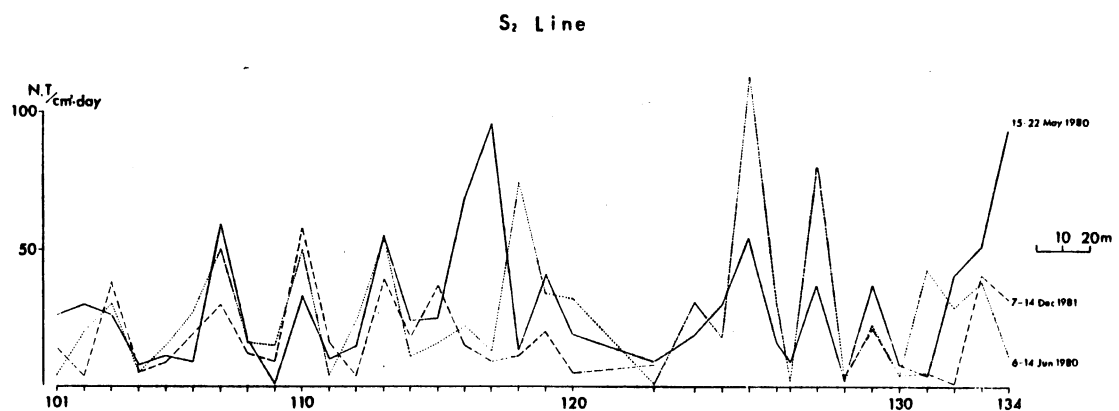
第2図 S<sub>1</sub>・S<sub>2</sub>・S<sub>3</sub> 測線上的観測孔配置図

Fig. 2 Location of the observation holes on the survey line S<sub>1</sub>, S<sub>2</sub> and S<sub>3</sub>.



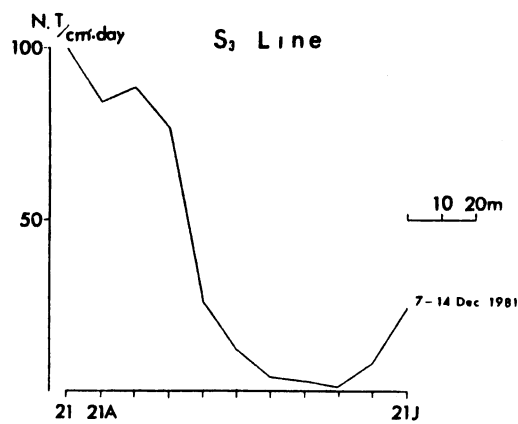
第3図  $S_1$  測線上のトラック密度分布図

Fig. 3 Distribution of the track density along the survey line  $S_1$ .



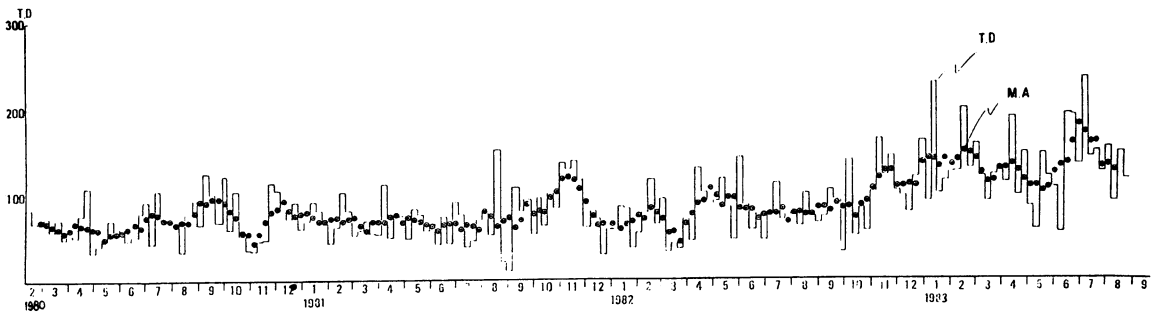
第4図  $S_2$  測線上のトラック密度分布図

Fig. 4 Distribution of the track density along the survey line  $S_2$ .



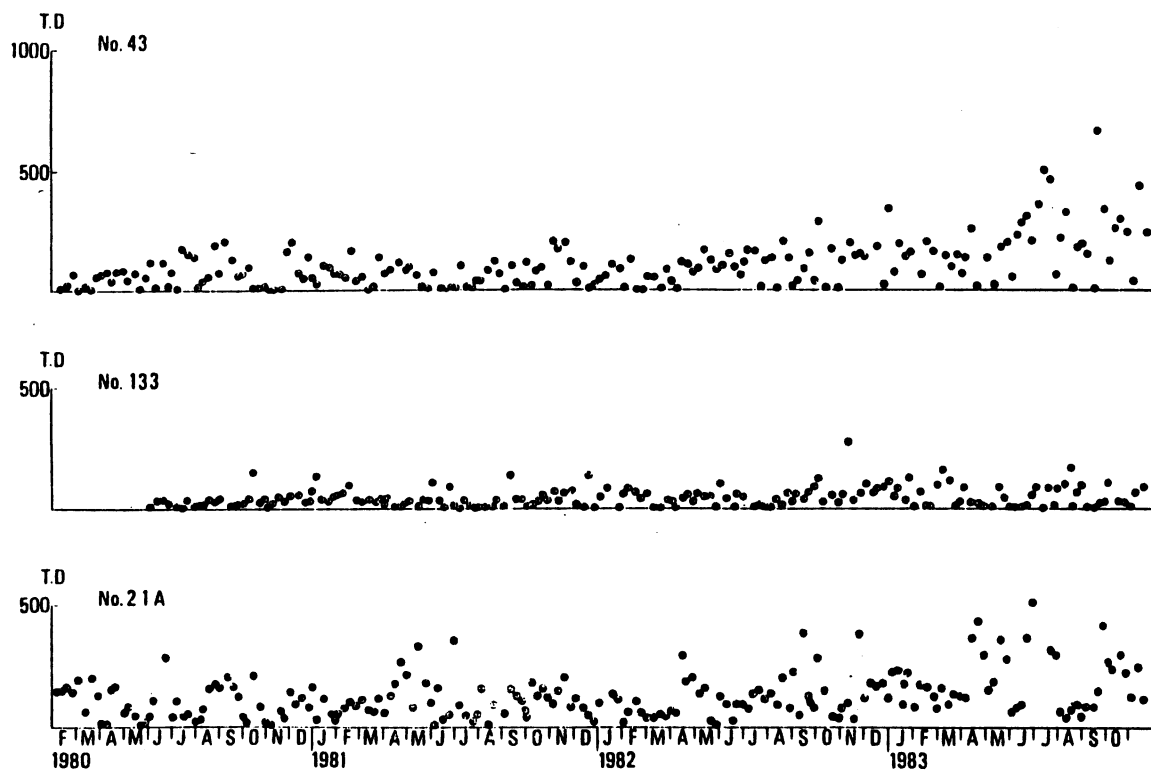
第5図  $S_3$  測線上のトラック密度分布図

Fig. 5 Distribution of the track density along the survey line  $S_3$ .



第6図 8観測点のトラック密度の平均値と5週間の移動平均値  
T.D：トラック密度  
M.A：移動平均

Fig. 6 Temporal changes in the average of the track density at the eight observation holes.



第7図 №43, №133, №21A 観測点のトラック密度

Fig. 7 Temporal changes in the track density at the observation hole No. 43, No. 133 and No. 21A.